

# ФАЗОВЫЕ ДИАГРАММЫ ОРИЕНТАЦИОННЫХ ПЕРЕХОДОВ В ПОГЛОЩАЮЩИХ НЖК

*A. C. Золотъко<sup>a\*</sup>, B. H. Очкин<sup>a</sup>, M. P. Смаев<sup>a</sup>, C. A. Швецов<sup>a,b</sup>*

*<sup>a</sup> Физический институт им. П. Н. Лебедева Российской академии наук  
119991, Москва, Россия*

*<sup>b</sup> Московский физико-технический институт  
141700, Долгопрудный, Московская обл., Россия*

Поступила в редакцию 2 октября 2014 г.

Для нематических жидкких кристаллов (НЖК) с примесью конформационно активных соединений, находящихся под воздействием светового, низкочастотного электрического и магнитного полей, предложена теория ориентационных переходов, использующая разложение врачающих моментов, действующих на директор НЖК, по углу поворота директора. Построены фазовые диаграммы состояния НЖК в зависимости от интенсивности и поляризации светового поля, напряженности низкочастотного электрического поля и параметра, характеризующего обратную связь между поворотом директора НЖК и оптическим врачающим моментом. Определены условия возникновения переходов второго и первого рода. Предложенная теория согласуется с экспериментом.

DOI: 10.7868/S0044451015050183

## 1. ВВЕДЕНИЕ

Воздействие внешних (магнитных, электрических или световых) полей на молекулы нематического жидкого кристалла (НЖК) приводит к повороту директора **п**. При взаимно перпендикулярной или параллельной ориентации **п** и внешнего поля поворот директора является пороговым (переход Фредерикса) [1, 2]. Эффект имеет черты фазового перехода: состояние кристалла меняет симметрию, вблизи порога проявляются критические явления [3–6]. В качестве параметра порядка может рассматриваться угол поворота директора в центральном слое НЖК. Для перехода Фредерикса, как правило, характерны черты перехода второго рода, т. е. угол поворота директора есть непрерывная функция внешнего поля [2, 3, 7].

На принципиальную возможность перехода первого рода в линейно-поляризованном световом поле указал анализ, выполненный в работах [8–10]. Результаты показали, что для реализации переходов первого рода требуется большая анизотропия диэлектрической проницаемости; экспериментально

такой эффект не наблюдался. Вместе с тем было теоретически и экспериментально показано, что переходы первого рода реализуются при комбинациях низкочастотных и световых полей. Стабилизирующее низкочастотное поле может приводить к появлению светоиндуцированного перехода первого рода, а стабилизирующее воздействие света — к переходам первого рода при изменении низкочастотных полей [11–16].

Оптические исследования стимулировали более детальное изучение взаимодействия НЖК с низкочастотными полями. Был предсказан [17, 18] и наблюдался [18, 19] переход первого рода в гомеотропно-ориентированном НЖК при приложении электрического поля параллельно жидкокристаллическому слою. В работах [18, 20] теоретически исследовано поведение НЖК для комбинаций электрического и магнитного полей. Было показано, что, как и в случае светового поля, стабилизирующее воздействие одного из полей может трансформировать переход второго рода в переход первого рода.

Физической причиной переходов первого рода во всех упомянутых выше случаях было обратное воздействие деформации поля директора НЖК на низкочастотное электрическое поле или световое поле необыкновенной поляризации.

\*E-mail: zolotko@lebedev.ru

Следует также упомянуть переходы первого рода в циркулярно поляризованном поле [21, 22], обусловленные энергообменом необыкновенной и обыкновенной волн в НЖК со светоиндукцированной неплоской деформацией директора. В этом случае поле директора не является стационарным и прецессирует из-за передачи НЖК момента импульса света.

В поглощающих НЖК поворот директора связан не с воздействием светового поля на индуцированные им диполи (как это имеет место в рассмотренных выше прозрачных НЖК), а с изменением межмолекулярных сил при поглощении световых квантов [23–25].

Переходы первого рода под действием светового пучка в отсутствие низкочастотных полей были реализованы и исследованы в НЖК с добавками поглощающих азобензольных соединений [26–30]. При увеличении мощности нормально падающего на планарно-ориентированный НЖК светового пучка необыкновенной поляризации до некоторого значения  $P_1$  происходила скачкообразная переориентация директора. При последующем уменьшении мощности обратный переход к однородному состоянию поля директора осуществлялся при мощности  $P_2 < P_1$ , т. е. переориентация директора сопровождалась бистабильностью. Относительная ширина области бистабильности,  $\Delta = (P_1 - P_2)/P_1$ , более чем на порядок превышала таковую для оптических переходов первого рода в прозрачных НЖК в присутствии дополнительного поля. Приложение низкочастотного электрического поля или добавление обыкновенной волны изменяло род перехода [26, 29].

Экспериментальные результаты [26–30] обусловлены дополнительной обратной связью между поворотом директора и оптическим вращающим моментом, возникающей благодаря влиянию светового поля на конформационный состав азобензольных соединений [31]. Теоретическое описание ориентационных переходов [26, 29] было проведено на основе точного решения уравнения баланса моментов, действующих на директор НЖК.

В то же время в большинстве работ теоретическое рассмотрение переходов НЖК во внешних полях осуществлялось с использованием разложения уравнений для поля директора НЖК или свободной энергии НЖК по углу поворота директора. В частности, в работах [9, 13–15, 18–20] такие переходы рассматривались с точки зрения теории фазовых переходов Ландау [32–34]. Было дано адекватное и наглядное описание основных свойств ориентационных переходов в НЖК: установлены критерии ре-

ализации переходов первого и второго рода, получены простые аналитические выражения для угла поворота директора.

В данной работе построена теория ориентационных переходов в поглощающих НЖК, основанная на разложении уравнения баланса моментов по углу поворота директора.

## 2. УРАВНЕНИЕ ДИНАМИКИ ДИРЕКТОРА НЖК

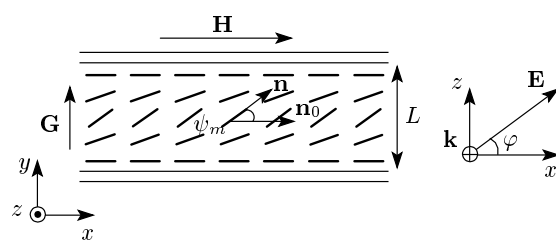
Рассмотрим взаимодействие планарно-ориентированного НЖК с нормально падающей линейно поляризованной световой волной (рис. 1). Введем декартову систему координат, ось  $x$  которой параллельна невозмущенному директору  $n_0$ , а ось  $y$  перпендикулярна плоскости ЖК-слоя и параллельна волновому вектору  $k$  световой волны. Координаты директора НЖК  $n(r)$ , поворачивающегося в плоскости  $xy$ , равны

$$n_x = \cos \psi, \quad n_y = \sin \psi, \quad n_z = 0, \quad (1)$$

где  $\psi(y)$  — угол поворота директора.

При падении на НЖК света, плоскость поляризации которого повернута на угол  $\varphi$  относительно плоскости  $xy$ , световое поле внутри кристалла есть суперпозиция необыкновенной и обыкновенной волн, которую можно представить в виде

$$\mathbf{E} = \frac{1}{2} \{ \mathbf{e} A_0 \exp[i(k_o y - \omega t)] + \text{с.с.} \}, \quad (2)$$



**Рис. 1.** Геометрия взаимодействия светового пучка с планарным НЖК:  $n_0$  — невозмущенный директор,  $n$  — директор, повернутый внешними полями,  $\psi_m$  — угол поворота директора в центральном слое НЖК,  $L$  — толщина жидкокристаллического слоя,  $\mathbf{E}$  и  $\mathbf{k}$  — поле и волновой вектор падающего на НЖК светового излучения,  $\varphi$  — угол поворота плоскости поляризации падающего светового пучка относительно плоскости  $xy$ ,  $G$  — напряженность низкочастотного электрического поля,  $\mathbf{H}$  — напряженность постоянного магнитного поля

где

$$\mathbf{e} = \mathbf{e}_e \cos \varphi \exp [i(k_e - k_o)y] + \mathbf{e}_o \sin \varphi \quad (3)$$

— единичный комплексный вектор поляризации светового излучения,  $A_0$  — амплитуда светового поля,  $\mathbf{e}_e = \mathbf{e}_x$  и  $\mathbf{e}_o = \mathbf{e}_z$  — векторы поляризации необыкновенной и обыкновенной волн,  $k_e$  и  $k_o$  — волновые векторы этих волн,  $\omega$  — световая частота.

Вращающий момент, связанный с изменением межмолекулярных сил в поглощающих НЖК, можно представить в виде

$$\Gamma_{abs} = \eta \Gamma_{tr}, \quad (4)$$

где

$$\Gamma_{tr} = \frac{\Delta\epsilon}{4\pi} (\mathbf{n} \cdot \mathbf{E}) [\mathbf{n} \times \mathbf{E}] \quad (5)$$

— оптический момент для прозрачного (нелегированного) НЖК,  $\Delta\epsilon$  — оптическая анизотропия,  $\eta$  — фактор усиления вращающего момента по сравнению с прозрачным НЖК [31].

Для НЖК, легированных азобензольными соединениями, фактор усиления  $\eta$  определяется концентрациями  $c_t$  и  $c_c$  транс- и цис-изомеров азобензольных хромофоров,

$$\eta = \eta_t c_t + \eta_c c_c, \quad (6)$$

где  $\eta_t$  и  $\eta_c$  — параметры ЖК-смеси. Транс-изомеры индуцируют в нематической матрице отрицательный вращающий момент ( $\eta_t < 0$ , директор поворачивается от светового поля  $\mathbf{E}$ ), а цис-изомеры — положительный ( $\eta_c > 0$ , директор ориентируется параллельно  $\mathbf{E}$ ). Световое поле вызывает конформационные переходы изомеров и изменяет их концентрации [31]. В достаточно сильном световом поле (когда тепловой цис–транс-релаксацией можно пренебречь)  $c_c/c_t \sim \sigma_t/\sigma_c$ , где  $\sigma_t$  и  $\sigma_c$  — сечения поглощения транс- и цис-изомеров в нематической матрице, зависящие от геометрии взаимодействия светового поля и директора НЖК. Эта зависимость проявляется значительно сильнее для транс-изомера, имеющего более вытянутую форму и характеризующегося высокой степенью упорядоченности в нематической матрице. В результате соотношение концентраций изомеров, а с ним и фактор усиления также оказываются зависящими от геометрии взаимодействия светового поля и директора НЖК.

В работе [31] получено выражение для фактора усиления при падении на НЖК линейно поляризованной волны; при этом влияние геометрии взаимодействия проявляется в виде зависимости фактора усиления  $\eta$  от переменной  $\sin^2 \Psi = \sin^2 \psi + \sin^2 \varphi \cos^2 \psi$  ( $\Psi$  — угол между вектором поляризации света, падающего на НЖК, и директором  $\mathbf{n}$ ).

Разложение функции  $\eta(\sin^2 \Psi)$  по переменной  $\sin^2 \Psi$  позволяет представить фактор усиления в виде

$$\eta(\psi, \varphi) = \eta_0 [1 + m_0 (\sin^2 \psi + \sin^2 \varphi \cos^2 \psi)], \quad (7)$$

где  $\eta_0$  и  $m_0$  — величины, зависящие от концентрации азохромофоров, величин  $\eta_t$ ,  $\eta_c$ , а также от параметров, характеризующих сечение поглощения изомеров.

Используя выражения (4), (5) и (7), суммарный оптический момент  $\Gamma_{opt} = \Gamma_{abs} + \Gamma_{tr}$  можем представить в виде

$$\Gamma_{opt} = (1 + \eta_0) [1 + m (\sin^2 \psi + \sin^2 \varphi \cos^2 \psi)] \Gamma_{tr}, \quad (8)$$

где  $m = m_0 \eta_0 / (1 + \eta_0)$ . Для азодобавок, приводящих к переходу первого рода,  $1 + \eta_0 < 0$ , при этом под действием света директор НЖК поворачивается от светового поля. Параметр  $m$ , определяемый свойствами ЖК-системы, характеризует глубину дополнительной обратной связи между поворотом директора и оптическим вращающим моментом  $\Gamma_{opt}$ . Чем больше  $m$ , тем быстрее возрастает вращающий момент при повороте директора.

Пусть помимо светового поля на НЖК воздействуют низкочастотное электрическое поле  $\mathbf{G} = \mathbf{e}_y G_0 \sin \Omega t$ , перпендикулярное ЖК-слою ( $G_0$  и  $\Omega$  — амплитуда и частота поля), и постоянное магнитное поле  $\mathbf{H} = \mathbf{e}_x H$ , параллельное ЖК-слою (см. рис. 1). Моменты, обусловленные этими полями, равны

$$\Gamma_{el} = \frac{\Delta\epsilon_{lf}}{4\pi} (\mathbf{n} \cdot \mathbf{G}) [\mathbf{n} \times \mathbf{G}], \quad \Gamma_{magn} = \frac{\Delta\mu}{4\pi} (\mathbf{n} \cdot \mathbf{H}) [\mathbf{n} \times \mathbf{H}],$$

где  $\Delta\epsilon_{lf}$  — анизотропия диэлектрической проницаемости на частоте  $\Omega$ , а  $\Delta\mu$  — анизотропия магнитной проницаемости. На директор НЖК воздействуют также моменты упругих  $\Gamma_{elast} = K [\mathbf{n} \times \Delta\mathbf{n}]$  сил ( $K$  — упругая постоянная Франка) и вязких  $\Gamma_{visc} = -\gamma_1 [\mathbf{n} \times \partial\mathbf{n}/\partial t]$  сил ( $\gamma_1$  — коэффициент вязкости).

Приравнивая нуль сумму моментов  $\Gamma_{opt}$ ,  $\Gamma_{el}$ ,  $\Gamma_{magn}$ ,  $\Gamma_{elast}$ ,  $\Gamma_{visc}$ , проводя усреднение по времени и отбрасывая быстроосцилирующие члены, пропорциональные  $\exp[\pm i(k_e - k_o)y]$ , получаем

$$\begin{aligned} \frac{\Delta\psi}{\partial\tau} = & \frac{\partial^2\psi}{\partial\xi^2} + \\ & + \delta_e \sin\psi \cos\psi [1 + m (\sin^2 \psi + \sin^2 \varphi \cos^2 \psi)] + \\ & + (\delta_G - \delta_H) \sin\psi \cos\psi, \end{aligned} \quad (9)$$

где  $\xi = \pi y/L$  и  $\tau = t/\tau_0$  — безразмерные координата и время,  $\tau_0 = \gamma_1 L^2 / \pi^2 K$ , а  $\delta_e = |A_0|^2 \cos^2 \varphi / |A_{e,th}|^2$

и  $\delta_H = H^2/H_{th}^2$  — квадраты напряженности необыкновенной световой волны и магнитного поля, нормированные на пороговые значения этих величин,

$$|A_{e,th}|^2 = -\frac{8\pi^3 K}{(1+\eta_0)\Delta\varepsilon}, \quad H_{th}^2 = \frac{4\pi^3 K}{\Delta\mu L^2},$$

при превышении которых начинается переориентация директора. При положительной анизотропии  $\Delta\varepsilon_{lf}$  величина  $\delta_G = G_0^2/G_{0,th}^2$ , где  $G_{0,th}^2 = 8\pi^3 K/|\Delta\varepsilon_{lf}|L^2$  имеет смысл квадрата порогового поля. Эту величину можно представить в виде  $\delta_G = U^2/U_{th}^2$ , где  $U$  — приложенное к НЖК напряжение,  $U_{th}$  — пороговое напряжение перехода Фредерикса. При  $\Delta\varepsilon_{lf} < 0$  имеем  $\delta_G = -G_0^2/G_{0,th}^2$ ; в этом случае низкочастотное поле стабилизирует недеформированное поле директора.

Разлагая правую часть выражения (9) в ряд по  $\psi$  с точностью до  $\psi^5$ , аппроксимируя продольное распределение директора  $\psi(\xi, \tau)$  низшей пространственной гармоникой  $\psi(\xi, \tau) = \psi_m(\tau) \sin \xi$  ( $\psi_m$  — угол поворота в центральной плоскости ЖК-слоя  $y = L/2$ ) и используя метод Галеркина, преобразуем уравнение в частных производных (9) к обыкновенному дифференциальному уравнению

$$\dot{\psi}_m = -a\psi_m - b\psi_m^3 - c\psi_m^5, \quad (10)$$

где

$$a = 1 - \delta_e(1 + m \sin^2 \varphi) - \delta_G + \delta_H, \quad (11)$$

$$b = \frac{1}{2}\delta_e \left(1 - \frac{3}{2}m\right) + \frac{1}{2}(\delta_G - \delta_H) + \frac{5}{4}\delta_e m \sin^2 \varphi, \quad (12)$$

$$c = -\frac{1}{12}(\delta_e + \delta_G - \delta_H) + \frac{1}{8}\delta_e m \left(5 - \frac{17}{3} \sin^2 \varphi\right). \quad (13)$$

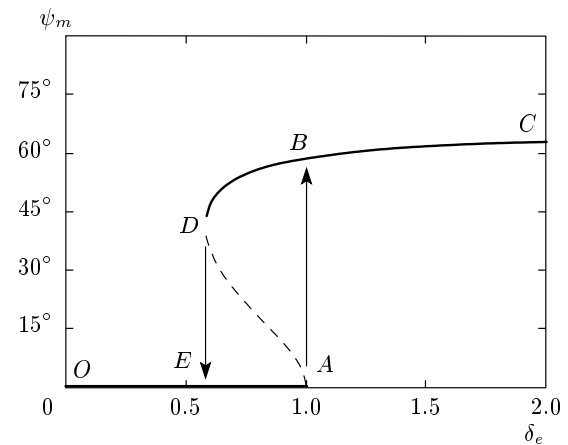
Отметим, что уравнение (10) может быть представлено в виде

$$\dot{\psi}_m = -\frac{\partial F}{\partial \psi_m}, \quad (14)$$

где

$$F = \frac{a\psi_m^2}{2} + \frac{b\psi_m^4}{4} + \frac{c\psi_m^6}{6}.$$

Уравнение (14) аналогично уравнению, описывающему динамику параметра порядка в теории Ландау [33, 35]. При этом функция  $F$  не является термодинамическим потенциалом. Тем не менее формальная аналогия уравнения (14) и уравнения теории Ландау позволяет нам использовать результаты этой теории для определения величины параметра порядка и рода перехода. Их также можно определить непосредственно из уравнения (10).



**Рис. 2.** Зависимость угла поворота директора  $\psi_m$  от безразмерной интенсивности  $\delta_e$  светового пучка, рассчитанная для  $m = 4.35$  (соответствует ширине области бистабильности  $\Delta = 0.42$  [26]). Линии  $OA$  и  $DC$  — устойчивые ветви,  $AD$  — неустойчивая ветвь. Стрелки  $AB$  и  $DE$  соответствуют прямому и обратному переходам

### 3. СВЕТОИНДУЦИРОВАННЫЙ ПЕРЕХОД ПЕРВОГО РОДА В НЖК

Рассмотрим сначала переходы, возникающие под действием необыкновенной световой волны ( $\varphi = 0$ ) в отсутствие низкочастотного электрического и магнитного полей ( $\delta_G, \delta_H = 0$ ). Порог перехода, определяемый соотношением  $a(\delta_e) = 0$  [32, 34], равен  $\delta_{e,1} = 1$ . При этом коэффициент  $b = (2 - 3m)/4$ . Если  $b > 0$  ( $m < 2/3$ ), то при  $\delta_e > 1$  происходит переход второго рода.

Если  $b < 0$  ( $m > 2/3$ ), то при  $\delta_e = \delta_{e,1} = 1$  происходит скачкообразный переход из однородного состояния  $\psi_m = 0$  (точка  $A$  на рис. 2) в деформированное состояние с амплитудой

$$\psi_{m,1}^2 = \frac{-b + \sqrt{b^2 - 4ac}}{2c} \quad (15)$$

(точка  $B$ ). Решение (15) (кривая  $CD$  на рис. 2) существует при выполнении неравенства  $b^2 - 4ac \geq 0$ . Условие

$$b^2 - 4ac = 0 \quad (16)$$

или, в рассматриваемом случае,

$$\delta_e = \delta_{e,2} = \frac{8(15m - 2)}{27m^2 + 84m - 4} \quad (17)$$

определяет нижнюю границу области бистабильности системы (при уменьшении  $\delta_e$  до значения  $\delta_{e,2}$  происходит обратный скачкообразный переход из деформированного состояния (точка  $D$ ) в однородное (точка  $E$ )). Ширина области бистабильности, очевидно, равна  $\Delta = 1 - \delta_{e,2}$ . Помимо (15) существует еще одно стационарное решение

$$\psi_{m,2}^2 = \frac{-b - \sqrt{b^2 - 4ac}}{2c},$$

показанное штриховой линией на рис. 2. Оно является неустойчивым.

Параметр  $m = 4.35$ , для которого построены зависимости  $\psi_m(\delta_e)$  (рис. 2), соответствует ширине области бистабильности  $\Delta = 0.42$  для перехода первого рода, наблюдавшегося для нематической матрицы ЖКМ-1277 с примесью 0.15 % дендримера второй генерации G2 в работе [26].

Полученные результаты можно представить графически на фазовой диаграмме  $(\delta_e, m)$  (рис. 3a). Кривые 1 и 2 соответствуют прямому ( $\delta_{e,1} = 1$ ) и обратному (17) переходам. В области I поле директора однородно; в области II, в зависимости от предыстории, может существовать однородное или деформированное состояние; в области III поле директора деформировано. Трикритическая точка  $T$  на фазовой диаграмме, в которой изменяется род ориентационного перехода, определяется условиями

$$a = 0, \quad b = 0 \quad (18)$$

и имеет координаты ( $\delta_{e,T} = 1$ ,  $m_T = 2/3$ ). Линия  $AA'$  соответствует значению  $m = 4.35$ , определенному из экспериментальных данных [26], для которого была построена зависимость  $\psi_m(\delta_e)$  на рис. 2. При этом длина отрезка  $A_2A_1$  равна ширине области бистабильности  $\Delta = 0.42$ .

Отметим, что значение  $m$ , определенное в работе [26], исходя из точного решения уравнения баланса моментов по экспериментальному значению  $\Delta = 0.42$ , составляло  $m = 3.6$ . Различие со значением  $m = 4.35$ , найденным в данной работе с помощью (17), связано с разложением моментов по углу  $\psi$ .

Значения ширины области бистабильности для ориентационных переходов в необыкновенной световой волне существенно различаются для разных ЖК-систем. Так, для НЖК с примесью дендриме-

ров третьей генерации G3 в работе [27] было найдено значение  $\Delta = 0.22$ , что соответствует  $m = 2.32$ . В работе [28] для примеси гребнеобразных гомополимеров с разным числом боковых фрагментов (14 и 29)  $\Delta = 0.23$  и  $\Delta = 0.05$ , откуда  $m = 2.40$  и  $m = 1.16$ . Весьма большая ширина области бистабильности  $\Delta = 0.77$ , наблюдавшаяся в работе [30] для примеси статистического гребнеобразного сополимера, соответствует  $m = 16.1$ .

#### 4. ПОГЛОЩАЮЩИЕ НЖК В ОДНОВРЕМЕННО ДЕЙСТВУЮЩИХ СВЕТОВОМ И НИЗКОЧАСТОТНОМ ПОЛЯХ

В присутствии низкочастотного электрического поля ( $\delta_H = 0$ ,  $\delta_G \neq 0$ ) для необыкновенной волны ( $\varphi = 0$ ) координаты трикритической точки на диаграмме  $(\delta_e, m)$ , определенные согласно соотношениям (11)–(13) и (18), равны

$$\delta_{e,T} = 1 - \delta_G, \quad m_T = \frac{2}{3(1 - \delta_G)}. \quad (19)$$

Из соотношений (19) следует, что воздействие низкочастотного поля на светоиндцированный переход зависит от знака  $\delta_G$ , т. е. от знака анизотропии диэлектрической проницаемости  $\Delta\varepsilon_{lf}$ . Если  $\Delta\varepsilon_{lf} > 0$  ( $\delta_G > 0$ ), то низкочастотное поле понижает порог перехода и увеличивает значение параметра  $m$ , необходимое для возникновения перехода первого рода. Если  $\Delta\varepsilon_{lf} < 0$  ( $\delta_G < 0$ ), то, наоборот, порог перехода повышается и переход первого рода возникает при меньшем значении  $m$ . Из выражений (11)–(13) видно, что стабилизирующее магнитное поле оказывает на светоиндцированный переход такое же влияние, как и электрическое поле в случае  $\Delta\varepsilon_{lf} < 0$ . Отметим, что аналогичный эффект — улучшение условий для возникновения переходов первого рода в прозрачных НЖК при наличии дополнительного стабилизирующего поля — наблюдался ранее, как уже было отмечено во Введении.

Описанное влияние низкочастотного электрического поля на светоиндцированный переход видно на фазовых диаграммах  $(\delta_e, m)$ , построенных при  $\delta_G = 0.5$  и  $\delta_G = -1.0$  (рис. 3б). Линии прямых переходов (1 и 3), определенные из условия  $a(\delta_e, \delta_G) = 0$ , есть вертикальные прямые  $\delta_{e,1} = 1 - \delta_G$ . Линии обратных переходов (2 и 4) рассчитаны с помощью соотношения

$$m = \frac{2 \left( 10 - 7(\delta_{e,2} + \delta_G) + \sqrt{52(\delta_{e,2} + \delta_G)^2 - 152(\delta_{e,2} + \delta_G) + 100} \right)}{9\delta_{e,2}}, \quad (20)$$

следующего из (16).

На рис. 4 представлена фазовая диаграмма состояний НЖК на плоскости  $(\delta_e, \delta_G)$ , построенная для условий эксперимента [26] ( $\Delta\varepsilon_{lf} > 0$ ) с помощью соотношения  $\delta_{e,1} + \delta_{G,1} = 1$  и решения уравнения (16)

$$\delta_{G,2} = 2 - \delta_{e,2} + \frac{21}{2}m\delta_{e,2} - \sqrt{117m^2\delta_{e,2}^2 + 12m\delta_{e,2} + 4}. \quad (21)$$

Координаты трикритической точки на этой диаграмме равны

$$\delta_{e,T} = \frac{2}{3m}, \quad \delta_{G,T} = 1 - \frac{2}{3m} \quad (22)$$

и для условий работы [26] составляют  $\delta_{e,T} = 0.15$ ,  $\delta_{G,T} = 0.85$ .

При  $\delta_G < \delta_{G,T}$  светоиндуцированный переход является переходом первого рода (линия  $AA'$  на рис. 4). При  $\delta_G > \delta_{G,T}$  происходит переход второго рода (линия  $BB'$ ). В эксперименте [26] ( $U_{th} = 0.95$  В) переход первого рода наблюдался при  $U = 0$  и  $U = 0.5$  В ( $\delta_G = 0$  и  $\delta_G = 0.28$ ), а переход второго рода — при  $U = 0.7$  В, т. е. при  $\delta_G = 0.54$ . Последнее значение заметно меньше, чем  $\delta_{G,T} = 0.85$ . Такое различие, по-видимому, связано с преднаклоном директора на подложках ЖК-ячейки. Преднаклон приводит к повороту директора в допороговой области, что усиливает влияние низкочастотного поля и приводит к более быстрой смене рода перехода.

Фазовая диаграмма  $(\delta_e, \delta_G)$  на рис. 4 иллюстрирует также переходы, происходящие при изменении низкочастотного поля в присутствии светового облучения (вертикальные линии  $CC'$ ,  $DD'$ ,  $EE'$ ). Как видно из диаграммы, по мере увеличения интенсивности светового поля должны последовательно наблюдаться переход второго рода ( $CC'$ ,  $\delta_e < \delta_{e,T}$ ), переход первого рода ( $DD'$ ,  $\delta_{e,T} < \delta_e < \delta_{e,2}$ ), а также необратимый переход первого рода ( $EE'$ ,  $\delta_{e,2} < \delta_e$ ). В последнем случае при увеличении низкочастотного поля в точке пересечения линий  $EE'$  и 1 происходит скачкообразный переход поля директора из однородного в деформированное состояние. Обратный переход в однородное состояние не происходит даже при уменьшении  $\delta_G$  до нуля (деформация при этом поддерживается световым полем). Все три типа переходов наблюдались в эксперименте [26] при мощностях светового пучка соответственно  $P = 10$  мВт ( $\delta_e = 0.27$ ),  $P = 22.5, 30$  мВт ( $\delta_e = 0.61$  и  $0.81$ ) и  $P = 32.5$  мВт ( $\delta_e = 0.88$ ). Однако смена режимов происходит при значениях мощности светового пучка, превышающих рассчитанные. Причина этого расхождения, по-видимому, такая же, как и в случае светоиндуцированных переходов.

## 5. ВЛИЯНИЕ ПОЛЯРИЗАЦИИ СВЕТА НА СВЕТОИНДУЦИРОВАННЫЙ ПЕРЕХОД В ПОГЛОЩАЮЩИХ НЖК

Проанализируем влияние поляризации света на состояния НЖК, полагая для простоты, что низкочастотное электрическое и магнитное поля отсутствуют. Координаты трикритической точки определяются соотношениями

$$\delta_{e,T} = \frac{5}{3(m+1)}, \quad \varphi_T = \arcsin \sqrt{\frac{3m-2}{5m}}. \quad (23)$$

Пороги прямого и обратного переходов равны

$$\delta_{e,1} = \frac{1}{1+m\sin^2\varphi}, \quad (24)$$

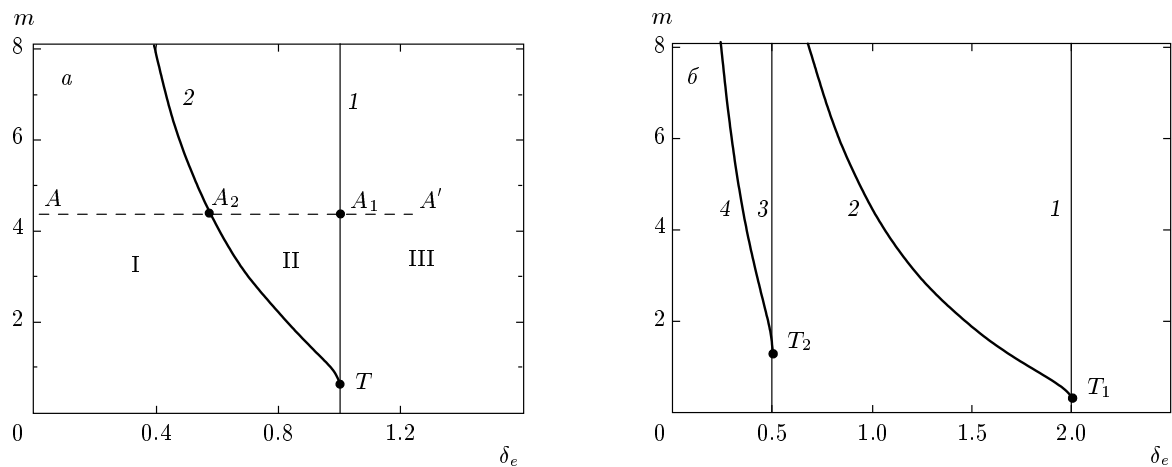
$$\delta_{e,2} = \frac{8(15m-17m\sin^2\varphi-2)}{3(2-3m+5m\sin^2\varphi)^2+8(1+m\sin^2\varphi)(15m-17m\sin^2\varphi-2)}. \quad (25)$$

При возрастании угла  $\varphi$  до значения  $\varphi_T$  переход первого рода, происходящий при изменении  $\delta_e$ , сменяется переходом второго рода. Это связано с ослаблением обратной связи между поворотом  $\psi$  директора и оптическим моментом  $\Gamma_{opt}$  при возрастании  $\varphi$ , что непосредственно следует из выражения (8). При  $\delta_e = \delta_{e,T}$  имеет место смена рода перехода, происходящего при изменении  $\varphi$ .

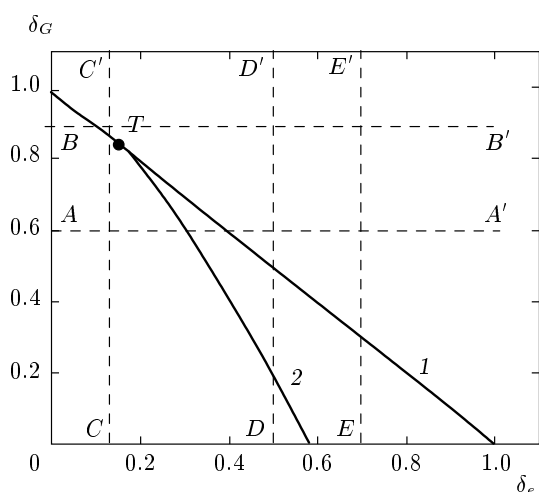
На рис. 5 представлена фазовая диаграмма светоиндуцированных переходов в координатах  $(\delta_e, \varphi)$ , построенная для  $m = 3.95$ , а также экспериментальные точки для порогов переходов первого и второго рода [29]. Величина  $m$  определялась путем усреднения значений, рассчитанных с помощью (24) по экспериментальным точкам прямых переходов при разных значениях  $\varphi \neq 0$  и ширине области бистабильности при  $\varphi = 0$ . Из рис. 5 следует соответствие теории и эксперимента.

## 6. ЗАКЛЮЧЕНИЕ

Построена теория ориентационных переходов в НЖК с поглощающими свет конформационно-активными добавками, использующая разложение выражений для врачающих моментов по углу поворота директора. Описаны переходы, происходящие при изменении интенсивности необыкновенной световой волны, поляризации света, низкочастотного электрического и магнитного полей.

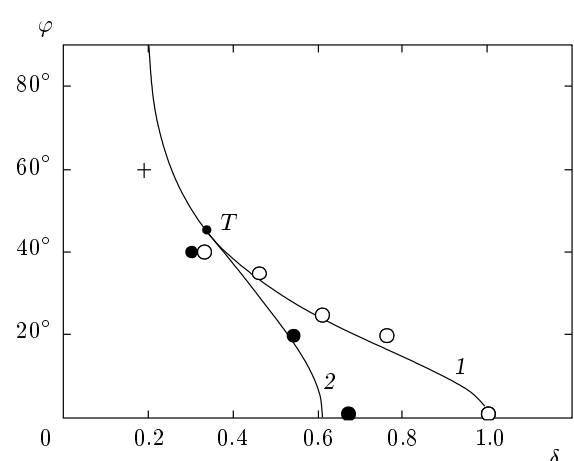


**Рис.3.** Фазовая диаграмма ориентационных переходов в координатах  $(\delta_e, m)$  при  $\delta_H = 0$ ,  $\varphi = 0$  и значениях параметра  $\delta_G = 0$  (а) и  $\delta_G = 0.5, -1.0$  (б). Кривые 1 (а) и 1, 3 (б) соответствуют значениям пороговой интенсивности для перехода в возмущенное состояние; кривые 2, 4 (б) — значениям интенсивности для обратных переходов;  $T, T_1, T_2$  — трикритические точки. В области I существует только невозмущенное состояние директора, в области II могут существовать возмущенное и невозмущенное состояния; в области III — только возмущенное состояние поля директора



**Рис.4.** Фазовая диаграмма ориентационных переходов в координатах  $(\delta_e, \delta_G)$ . Кривая 1 соответствует пороговой мощности перехода из однородного в деформированное состояние, кривая 2 — обратным переходам в случае переходов первого рода;  $T$  — трикритическая точка; линии  $AA'$ ,  $BB'$ ,  $CC'$ ,  $DD'$  и  $EE'$  соответствуют различным типам переходов под действием света и низкочастотного электрического поля

Рассчитаны фазовые диаграммы состояния НЖК в зависимости от интенсивности и поляризации светового поля, напряженности низкочастотного электрического поля и параметра  $m$ ,



**Рис.5.** Фазовая диаграмма ориентационных переходов в координатах  $(\delta_e, \varphi)$  при  $m = 3.95$ . Линии 1 и 2 соответствуют прямому и обратному переходам;  $T$  — трикритическая точка. Показаны экспериментальные точки для прямого ( $\circ$ ) и обратного ( $\bullet$ ) переходов (в случае переходов первого рода), а также для перехода второго рода (+) [29]

характеризующего дополнительную обратную связь между поворотом директора и оптическим вращающим моментом. Установлены условия реализации переходов первого и второго рода.

Результаты расчетов адекватно описывают наблюдавшиеся ранее ориентационные переходы первого и второго рода, в том числе смену рода переходов при приложении дополнительных полей.

Находящиеся под воздействием световых и низкочастотных полей НЖК могут быть хорошей экспериментальной моделью для исследования флюктуационных явлений при фазовых переходах первого и второго рода, в том числе вблизи трикритических точек.

Исследование выполнено при финансовой поддержке Российского научного фонда (грант № 14-12-00784).

## ЛИТЕРАТУРА

1. А. Репьева, В. Фредерикс, Ж. Русского физ.-хим. общества, часть физ. **59**, 183 (1927).
2. P. G. de Gennes and J. Prost, *The Physics of Liquid Crystals*, Oxford Univ. Press (1993).
3. E. Guyon, Amer. J. Phys. **43**, 877 (1975).
4. С. А. Пикин, *Структурные превращения в жидкокристаллах*, Наука, Москва (1981).
5. С. М. Аракелян, УФН **153**, 579 (1987).
6. S. Joubaud, A. Petrosyan, S. Giliberto et al., Phys. Rev. Lett. **100**, 180601 (2008).
7. А. С. Золотко, В. Ф. Китаева, В. А. Куюмчян и др., Письма в ЖЭТФ **36**, 66 (1982).
8. Б. Я. Зельдович, Н. В. Табиран, ЖЭТФ **81**, 72 (1981).
9. H. L. Ong, Phys. Rev. A **28**, 2393 (1983).
10. Б. Я. Зельдович, Н. В. Табиран, УФН **147**, 633 (1985).
11. С. Р. Нерсисян, Н. В. Табиран, Опт. и спектр. **55**, 782 (1983).
12. S. R. Nersisyan and N. V. Tabiryan, Mol. Cryst. Liq. Cryst. **116**, 111 (1984).
13. H. L. Ong, Phys. Rev. A **31**, 3450 (1985).
14. A. J. Karn, S. M. Arakelian, Y. R. Shen et al., Phys. Rev. Lett. **57**, 448 (1986).
15. Shu-Hsia Chen and J. J. Wu, Appl. Phys. Lett. **52**, 1998 (1988).
16. J. J. Wu and S.-H. Chen, J. Appl. Phys. **66**, 1065 (1989).
17. С. М. Аракелян, А. С. Карайан, Ю. С. Чилингарян, ДАН СССР **275**, 52 (1984).
18. B. J. Friskin and P. Palfy-Muhoray, Phys. Rev. A **39**, 1513 (1989).
19. B. J. Friskin and P. Palfy-Muhoray, Liq. Cryst. **5**, 623 (1989).
20. B. J. Friskin and P. Palfy-Muhoray, Phys. Rev. A **40**, 6099 (1989).
21. E. Santamato, B. Daino, M. Romagnoli et al., Phys. Rev. Lett. **57**, 2423 (1986).
22. А. С. Золотко, А. П. Сухоруков, Письма в ЖЭТФ **52**, 707 (1990).
23. I. Janossy, L. Csillag, and A. D. Lloyd, Phys. Rev. A **44**, 8410 (1991).
24. L. Marrucci and D. Paparo, Phys. Rev. E **56**, 1765 (1997).
25. А. С. Золотко, Письма в ЖЭТФ **68**, 410 (1998).
26. Е. А. Бабаян, И. А. Будаговский, С. А. Шветсов et al., Phys. Rev. E **82**, 061705 (2010).
27. I. A. Budagovsky, V. N. Ochkin, S. A. Shvetsov et al., Mol. Cryst. Liq. Cryst. **544**, 112 (2011).
28. I. A. Budagovsky, D. S. Pavlov, S. A. Shvetsov et al., Mol. Cryst. Liq. Cryst. **561**, 89 (2012).
29. А. С. Золотко, М. П. Смаев, С. А. Швецов и др., КЭ **42**, 327 (2012).
30. И. А. Будаговский, А. С. Золотко, Т. Е. Ковалевская и др., Кратк. сообщ. по физике ФИАН № 3, 29 (2014).
31. I. Janossy and L. Szabados, Phys. Rev. E **58**, 4598 (1998).
32. Л. Д. Ландау, Е. М. Лифшиц, *Статистическая физика*, ч. 1, Наука, Москва (1995).
33. Е. М. Лифшиц, Л. П. Питаевский, *Физическая кинетика*, Наука, Москва (1979).
34. А. З. Паташинский, В. Л. Покровский, *Флюктуационная теория фазовых переходов*, Наука, Москва (1982).
35. Л. Д. Ландау, И. М. Халатников, ДАН СССР **96**, 469 (1954).